

格子 QCD による原子核の直接計算
— 格子 QCD によるヘリウム原子核の研究 —

山崎 剛

名古屋大学素粒子宇宙起源研究機構



Kobayashi-Maskawa Institute for the Origin of Particles and the Universe

藏増 嘉伸 and 宇川 彰 for PACS-CS Collaboration

Refs. PRD81:111504(R)(2010) and arXiv:1105.1418[hep-lat]

「J-PARC で展開される将来の物理」研究会

KEK 2011年6月10日

1. イントロダクション

原子核スペクトラム

殻模型の成功 (1949: Jensen and Mayer)

陽子と中性子が有効自由度

核子スペクトラム (陽子と中性子)

QCD の非摂動的計算の成功 ← 格子 QCD, ...

クォークとグルーオンの自由度

動機 : 原子核の性質や構造を QCD から定量的に理解する

もし原子核を QCD から研究できれば、

1. 原子核スペクトルを再現

2. 観測や計算が難しい原子核 (中性子過剰核等) の性質を予言

格子QCDを用いた多体核子系の研究('09以前)

1. $\Lambda\Lambda$ 系 ($S=-2, I=0$)

Hダイバリオン: $\Delta E_H \sim 80 \text{ MeV}$ '77 Jaffe

'85 Mackenzie & Thacker : Quenched QCD

非束縛

'88 Iwasaki *et al.* : Quenched QCD

束縛 : 束縛エネルギー = 500 – 700 MeV

'99 Pochinsky *et al.* : Quenched QCD

非束縛 : $E_{\Lambda\Lambda} - 2m_\Lambda > 110 \text{ MeV}$

'00 Wetzorke *et al.* : Quenched QCD

非束縛か弱く束縛か判断が難しい

'02 Wetzorke & Karsch : Quenched QCD

非束縛 : 体積依存性

Hダイバリオン: 非束縛

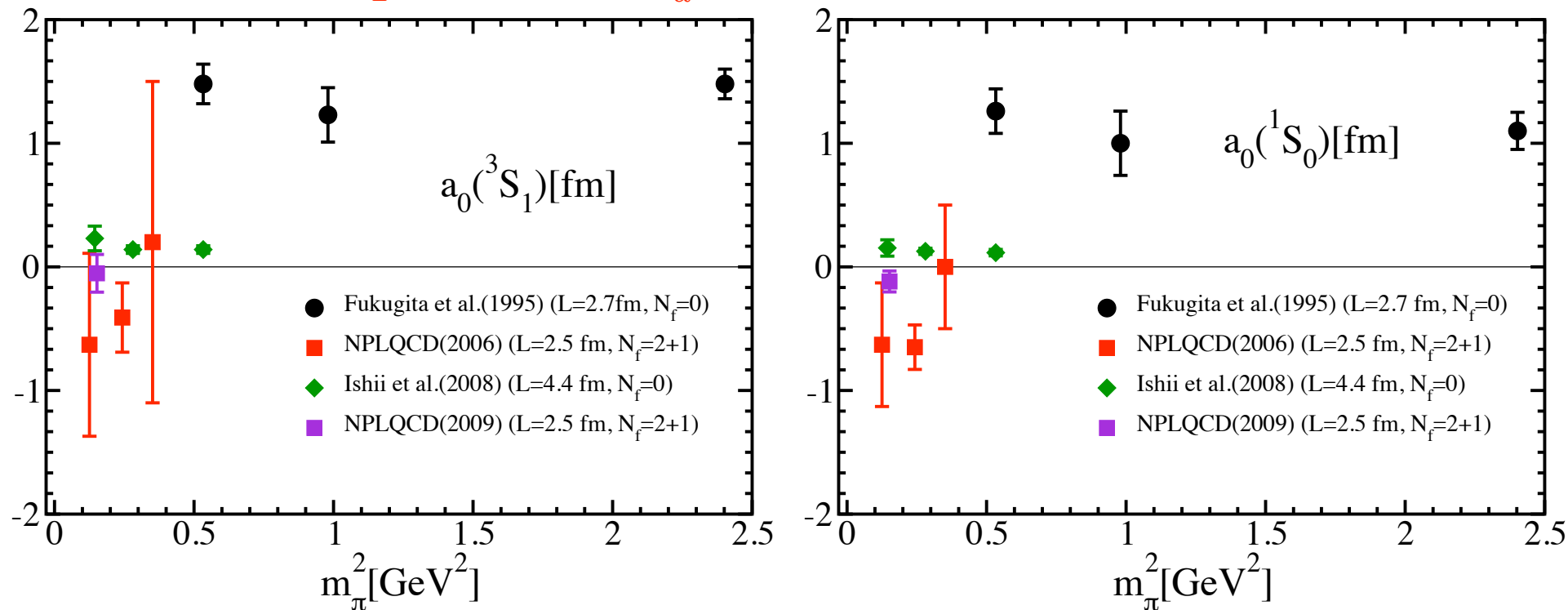
'11 NPLQCD : $N_f = 2 + 1$ QCD and HALQCD : $N_f = 3$ QCD

→ 束縛

格子QCDを用いた多体核子系の研究('09以前)

2. 二体核子NN系 3S_1 and 1S_0

重水素: 3S_1 channel $\Delta E_d = 2.2$ MeV



'09 Ishii *et al.*: $N_f = 2 + 1$ QCD

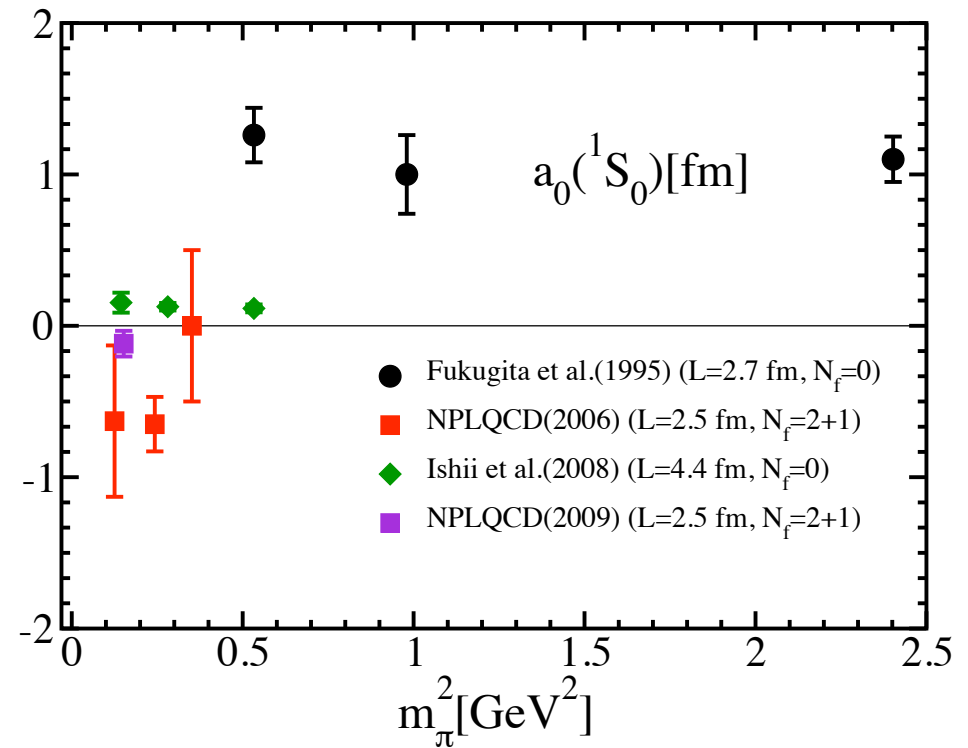
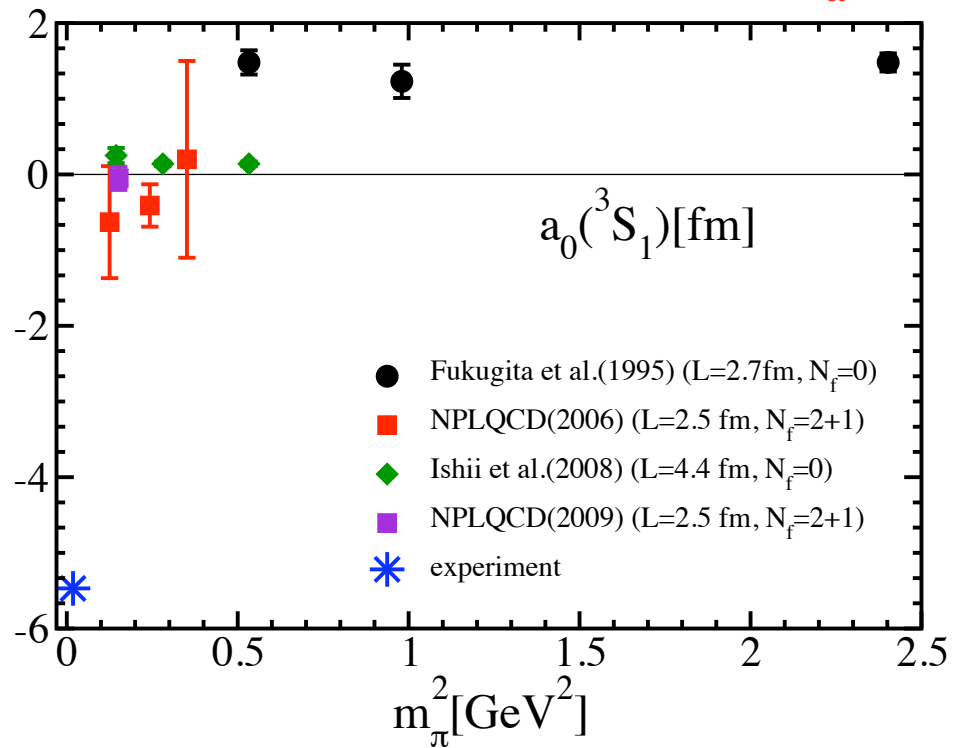
波動関数 $\rightarrow a_0 > 0$

a_0 の符号は collaboration によってまちまち

格子QCDを用いた多体核子系の研究('09以前)

2. 二体核子NN系 3S_1 and 1S_0

重水素: 3S_1 channel $\Delta E_d = 2.2$ MeV



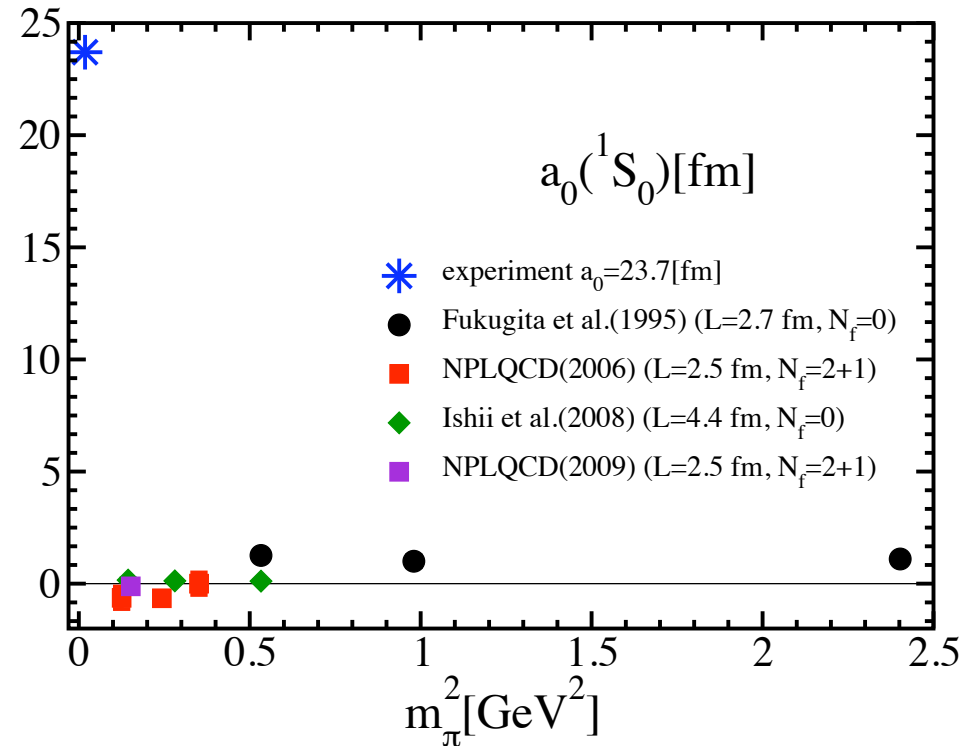
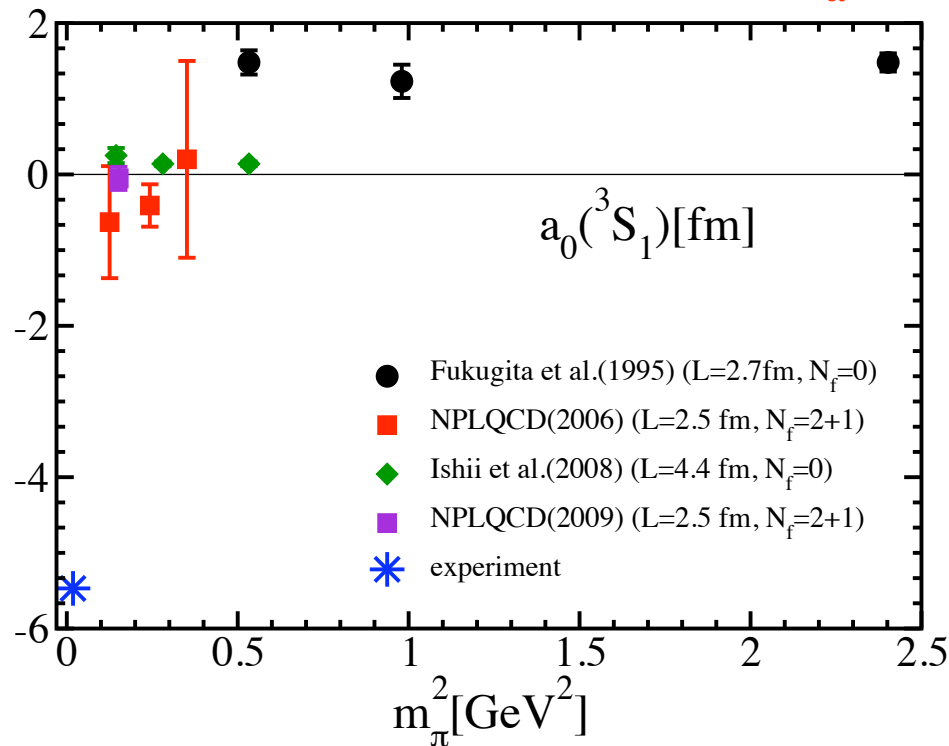
'09 Ishii *et al.*: $N_f = 2 + 1$ QCD

波動関数 $\rightarrow a_0 > 0$

格子QCDを用いた多体核子系の研究('09以前)

2. 二体核子NN系 3S_1 and 1S_0

重水素: 3S_1 channel $\Delta E_d = 2.2$ MeV



'09 Ishii *et al.*: $N_f = 2 + 1$ QCD

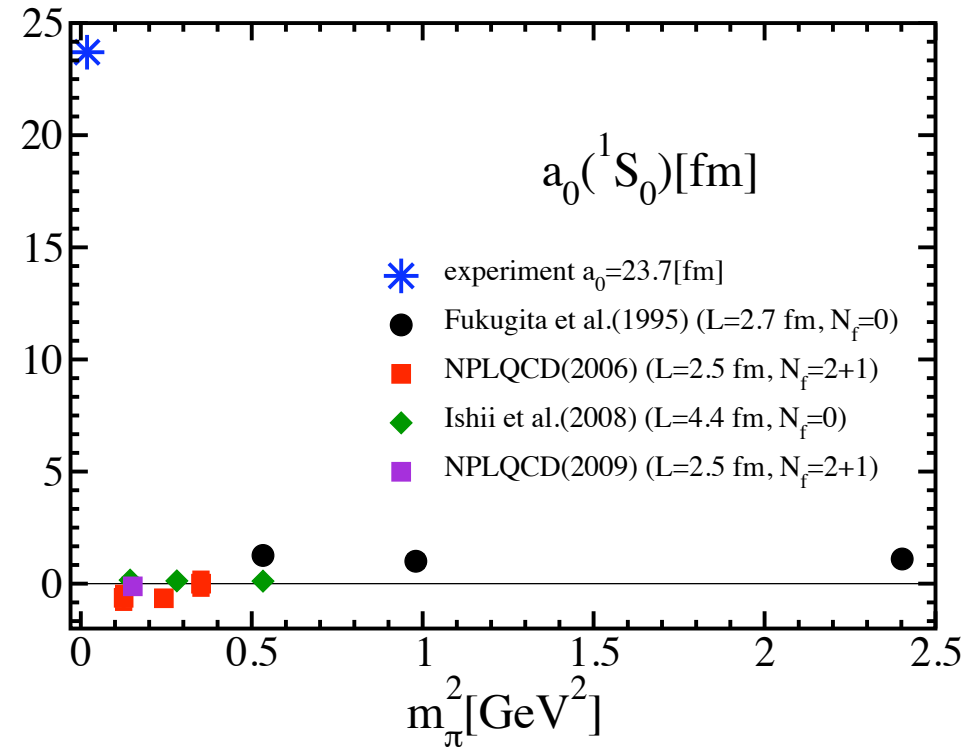
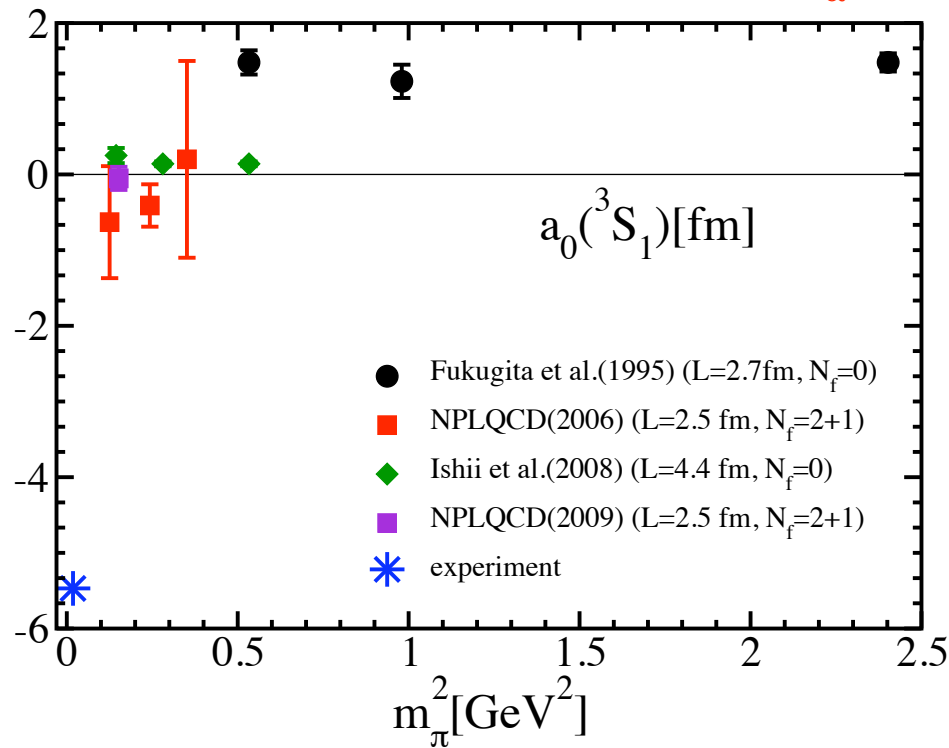
波動関数 $\rightarrow a_0 > 0$

a_0 : 実験値から大きく離れているのは $m_\pi \gtrsim 0.3$ GeV だから

格子QCDを用いた多体核子系の研究('09以前)

2. 二体核子NN系 3S_1 and 1S_0

重水素: 3S_1 channel $\Delta E_d = 2.2$ MeV



'09 Ishii *et al.*: $N_f = 2 + 1$ QCD

波動関数 $\rightarrow a_0 > 0$

a_0 : 実験値から大きく離れているのは $m_\pi \gtrsim 0.3$ GeV だから
 仮定) 重水素: $m_\pi \gtrsim 0.3$ GeV なので非束縛

格子QCDを用いた多体核子系の研究('09以前)

3. 三体核子NNN系

$$\text{三重水素: } J^P = \frac{1}{2}^+ \quad I = \frac{1}{2} \quad \Delta E_{\text{Triton}} = 8.5 \text{ MeV}$$

'09 NPLQCD : $N_f = 2 + 1$ QCD $m_\pi = 0.39 \text{ GeV}$ $L = 2.5 \text{ fm}$
 $\Xi^0 \Xi^0 n$ and pnn チャンネル

$$E_{pnn} - 3m_N \gtrsim 0$$

三重水素: おそらく非束縛

'10 Doi : 波動関数 \rightarrow 核子三体力

格子QCDを用いた多体核子系の研究('09以前)

1. $\Lambda\Lambda$ 系

'85 Mackenzie & Thacker '00 Wetzorke *et al.*
'88 Iwasaki *et al.* '02 Wetzorke & Karsch
'99 Pochinsky *et al.* '09 NPLQCD

Hダイバリオン: 非束縛

2. 二体核子NN系 3S_1 and 1S_0

'95 Fukugita *et al.* : Quenched QCD
'06 NPLQCD : $N_f = 2 + 1$ QCD
'08 Ishii *et al.* : Quenched and $N_f = 2 + 1$ QCD
'09 NPLQCD : $N_f = 2 + 1$ QCD

仮定) 重水素: $m_\pi \gtrsim 0.3$ GeVのため非束縛

3. 三体核子NNN系

'09 NPLQCD : $N_f = 2 + 1$ QCD

三重水素: おそらく非束縛

ヘリウム原子核: 大きな束縛エネルギー $\Delta E_{4\text{He}} = 28.3$ MeV
二重魔法数 $Z = 2, N = 2$

本研究: ^4He , ^3He (三重水素)原子核計算の試験的研究

計算概要

ポテンシャルを基礎にしない

多体核子間力を定義しない → QCD から原子核を計算

格子 QCD を用いて 4, 3 核子系基底状態エネルギーを計算

昔ながらの計算手法

$$C_N(t) = \langle 0 | O(t) O^\dagger(0) | 0 \rangle = \sum_n \langle 0 | O | n \rangle \langle n | O^\dagger | 0 \rangle e^{-E_n t} \xrightarrow{t \gg 1} A_0 e^{-E_0 t}$$

O : クォークで構成された ${}^4\text{He}$, ${}^3\text{He}$ 演算子

E_0 と $4m_N, 3m_N$ を比較 → 束縛状態?

何が難しいのか?

目次

1. ~~イントロダクション~~
2. 多体核子系束縛状態計算の問題点
 - 統計誤差
 - 膨大なウィックコントラクション
 - 有限体積上での束縛状態識別
3. シミュレーションパラメータ
4. ${}^4\text{He}$, ${}^3\text{He}$ の結果
5. まとめと展望
 - 最近の二体核子(重粒子)系の研究

2. 多体核子系束縛状態計算の問題点

一. 統計誤差

二. 膨大なウィックコントラクション

三. 有限体積上での束縛状態識別

一. 統計誤差

原子核エネルギーの一般的な計算 (${}^4\text{He}: J^P = 0^+, I = 0, {}^3\text{He}: J^P = 1/2^+, I = 1/2$)

$$C_{\text{Nucleus}}(t) \xrightarrow{t \gg 1} A \exp(-m_{\text{Nucleus}} t)$$

N_N 核子系 $C_{\text{Nucleus}}(t)$ の誤差の振舞

$$\frac{\text{noise}}{\text{signal}} \propto \frac{1}{\sqrt{N_{\text{meas}}}} \exp\left(N_N \left[m_N - \frac{3}{2}m_\pi\right] t\right)$$

$$\begin{array}{lcl} N_{\text{meas}} & \rightarrow & \text{小} \\ m_\pi & \rightarrow & \text{小} \\ N_N & \rightarrow & \text{大} \end{array} \Rightarrow \frac{\text{noise}}{\text{signal}} \rightarrow \text{大}$$

大きな統計誤差を回避

非物理的な非常に重いクォーク質量:

$$m_\pi = 0.8 \text{ GeV and } m_N = 1.62 \text{ GeV}$$

多くの測定 $N_{\text{meas}} = O(10^3)$

将来、物理的クォーク質量で計算を行う場合、根本的な解決方法が必要

二. 膨大なウィックコントラクション

$$C_{\text{He}}(t) = \langle 0 | {}^4\text{He}(t) \overline{{}^4\text{He}}(0) | 0 \rangle \text{ with } {}^4\text{He} = p^2 n^2 = [udu]^2 [dud]^2$$

ウィックコントラクションの数 $N_u! \times N_d! = (2N_p + N_n)! \times (2N_n + N_p)!$

同一視可能なコントラクションを含む

$${}^4\text{He}: 6! \times 6! = 518400$$

$${}^3\text{He}: 5! \times 4! = 2880$$

$$\text{例) N: } 2! \times 1 = 2$$

コントラクション数の削減

演算子の対称性

$$p \leftrightarrow p, n \leftrightarrow n$$

アイソスピン: 全ての $p \leftrightarrow n$

異なる二つのコントラクションを同時計算

$$u \leftrightarrow u \text{ in } p(=udu) \text{ or } d \leftrightarrow d \text{ in } n(=dud)$$

二. 膨大なウィックコントラクション (cont'd)

$$C_{\text{He}}(t) = \langle 0 | {}^4\text{He}(t) \overline{{}^4\text{He}}(0) | 0 \rangle \text{ with } {}^4\text{He} = p^2 n^2 = [udu]^2 [dud]^2$$

ウィックコントラクションの数 $N_u! \times N_d! = (2N_p + N_n)! \times (2N_n + N_p)!$
同一視可能なコントラクションを含む

$$\begin{aligned} {}^4\text{He}: & 6! \times 6! = 518400 \longrightarrow 1107 \\ {}^3\text{He}: & 5! \times 4! = 2880 \longrightarrow 93 \end{aligned}$$

計算コストの削減: 同じディラクとカラーの足を潰す計算を省く

三個のクォークプロパゲータのブロック B_3

シンク側でゼロ運動量核子演算子を組む

二つの B_3 を使ったブロック

1, 2, 3 個のディラクの足を潰す

計算時間: 数日 \rightarrow 数分

三. 有限体積上での束縛状態識別

$$\langle 0 | {}^4\text{He}(t) \overline{{}^4\text{He}(0)} | 0 \rangle \xrightarrow{t \gg 1} A e^{-Et} \quad ({}^4\text{He}: J^P = 0^+, I = 0)$$

得られた基底状態は束縛状態か他の状態か？

量子数では識別不可

$$N^4, N-{}^3\text{He}, \dots \text{ 散乱状態} \xleftrightarrow{\text{同じ量子数}} {}^4\text{He 束縛状態}$$

エネルギーによる識別

	(一つの) 束縛状態	引力散乱状態
無限体積	離散的	連続的
$E - N_N m_N$	$-\Delta E_{\text{bind}} < 0$	≥ 0
有限体積	離散的	離散的
$E - N_N m_N$		

どのくらい有限体積効果があるのか？

三. 有限体積上での束縛状態識別

$$\langle 0 | {}^4\text{He}(t) \overline{{}^4\text{He}(0)} | 0 \rangle \xrightarrow{t \gg 1} A e^{-Et} \quad ({}^4\text{He}: J^P = 0^+, I = 0)$$

得られた基底状態は束縛状態か他の状態か？

量子数では識別不可

$$N^4, N\text{-}{}^3\text{He}, \dots \text{ 散乱状態} \xleftrightarrow{\text{同じ量子数}} {}^4\text{He 束縛状態}$$

エネルギーによる識別

	(一つの) 束縛状態	引力散乱状態
無限体積	離散的	連続的
$E - N_N m_N$	$-\Delta E_{\text{bind}} < 0$	≥ 0
有限体積	離散的	離散的
$E - N_N m_N$	$-\Delta E_{\text{bind}} + \mathcal{O}(e^{-CL}) < 0$	$\mathcal{O}(1/L^3) < 0$

二体系束縛状態: '04 Beane et al, '06 Sasaki and TY

散乱状態: '86, '91 Lüscher, '07 Beane et al.

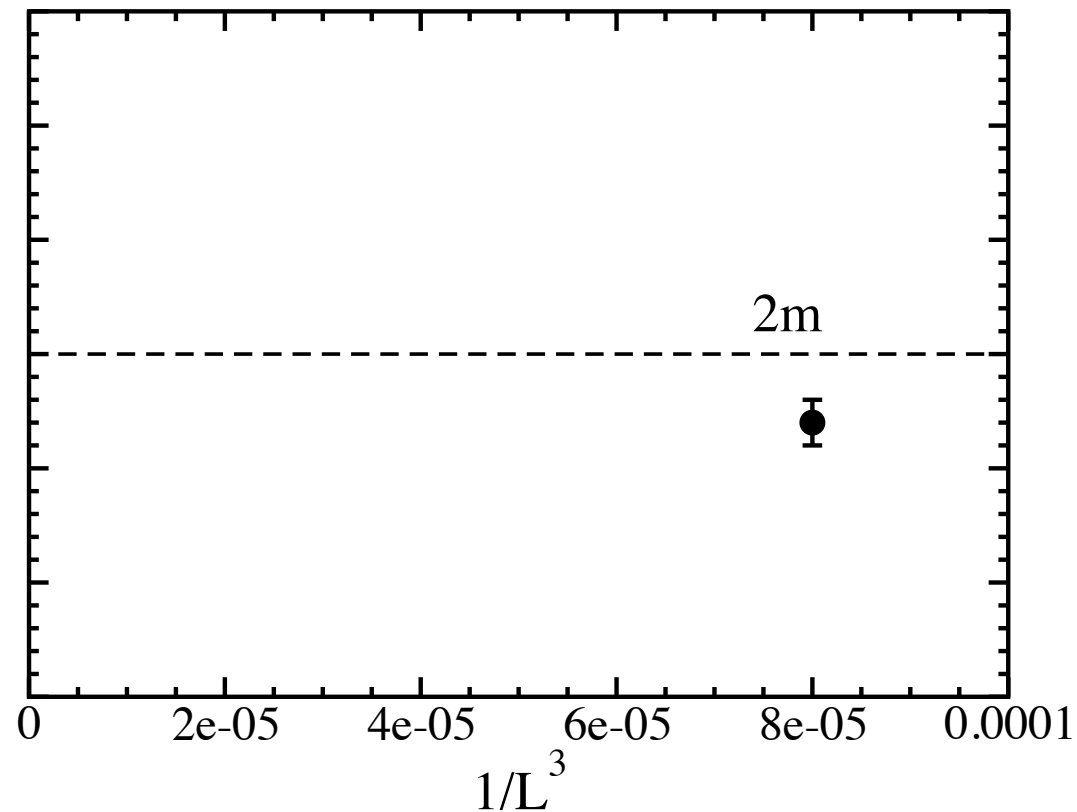
有限体積上ではエネルギーから識別は難しい

三. 有限体積上での束縛状態識別 (cont'd)

Example) 二粒子系

$$\langle 0|O(t)O^\dagger(0)|0\rangle \xrightarrow[t \gg 1]{} A e^{-Et}$$

小さな $\Delta E = E - 2m < 0$ at 一つの体積 L

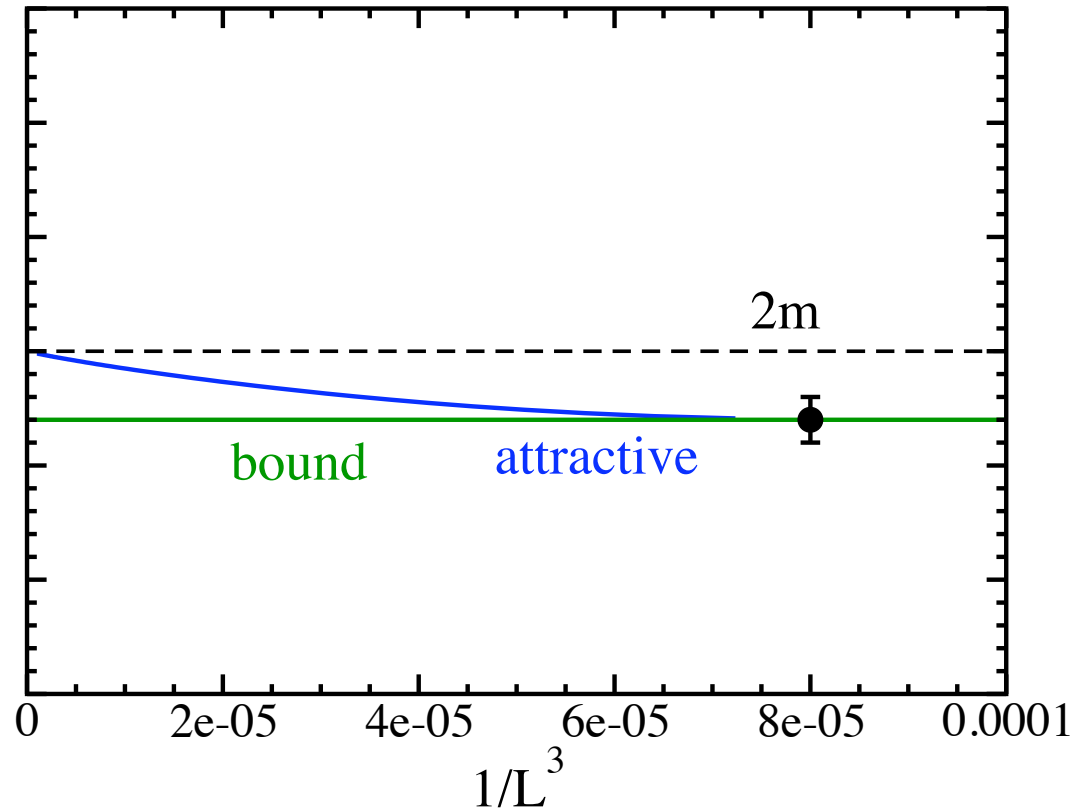


これだけでは束縛状態の識別には不十分

三. 有限体積上での束縛状態識別 (cont'd)

Example) 二粒子系

小さな $\Delta E = E - 2m < 0$ at 一つの体積 L



一つの体積では識別は難しい

束縛状態 か 引力散乱状態

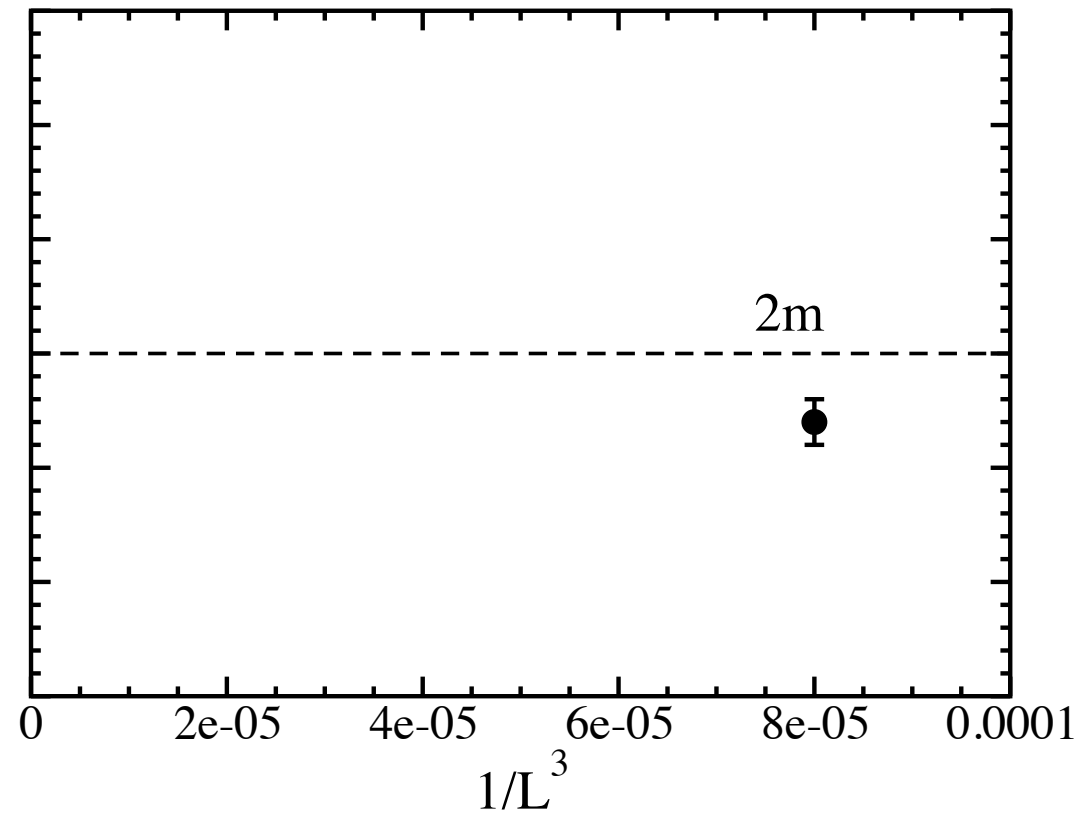
c.f.) N -particle scattering state : $\Delta E = E_{\text{scat}} - Nm = O\left(-\frac{NC_2 a_0}{ML^3}\right)$

Beane et al., PRD76:074507(2007)

三. 有限体積上での束縛状態識別 (cont'd)

Example) 二粒子系

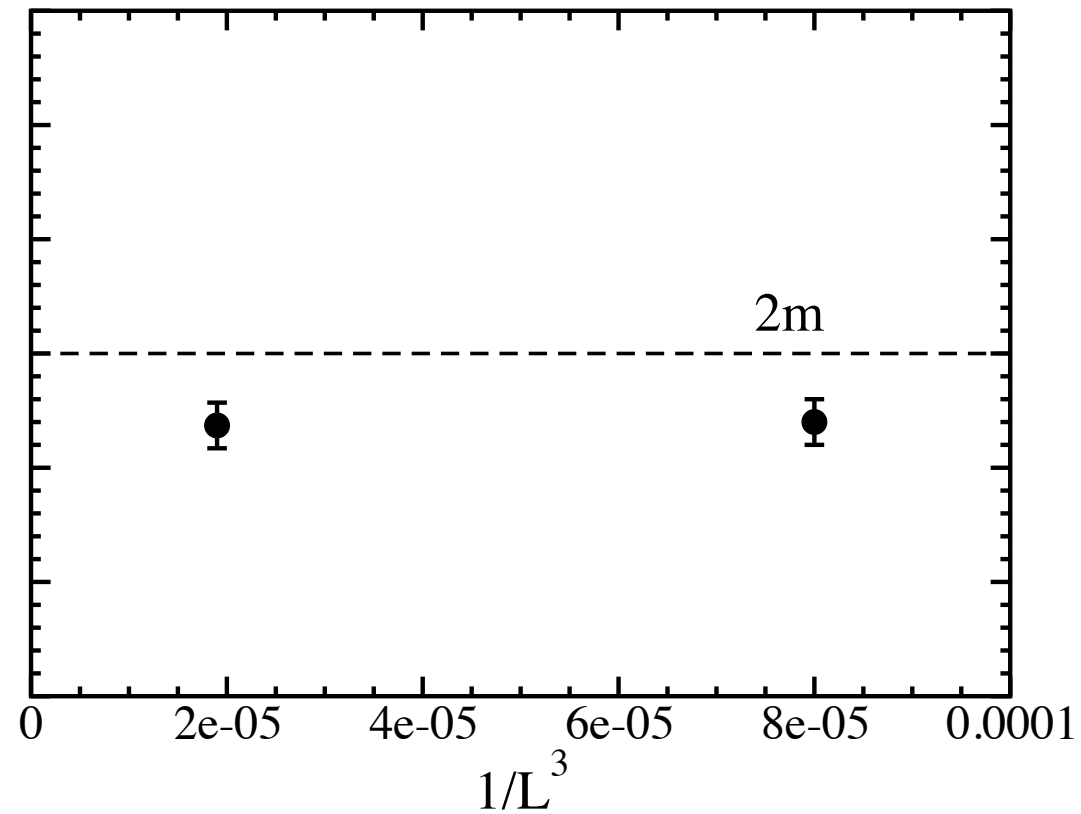
小さな $\Delta E = E - 2m < 0$ at 一つの体積 L



三. 有限体積上での束縛状態識別 (cont'd)

Example) 二粒子系

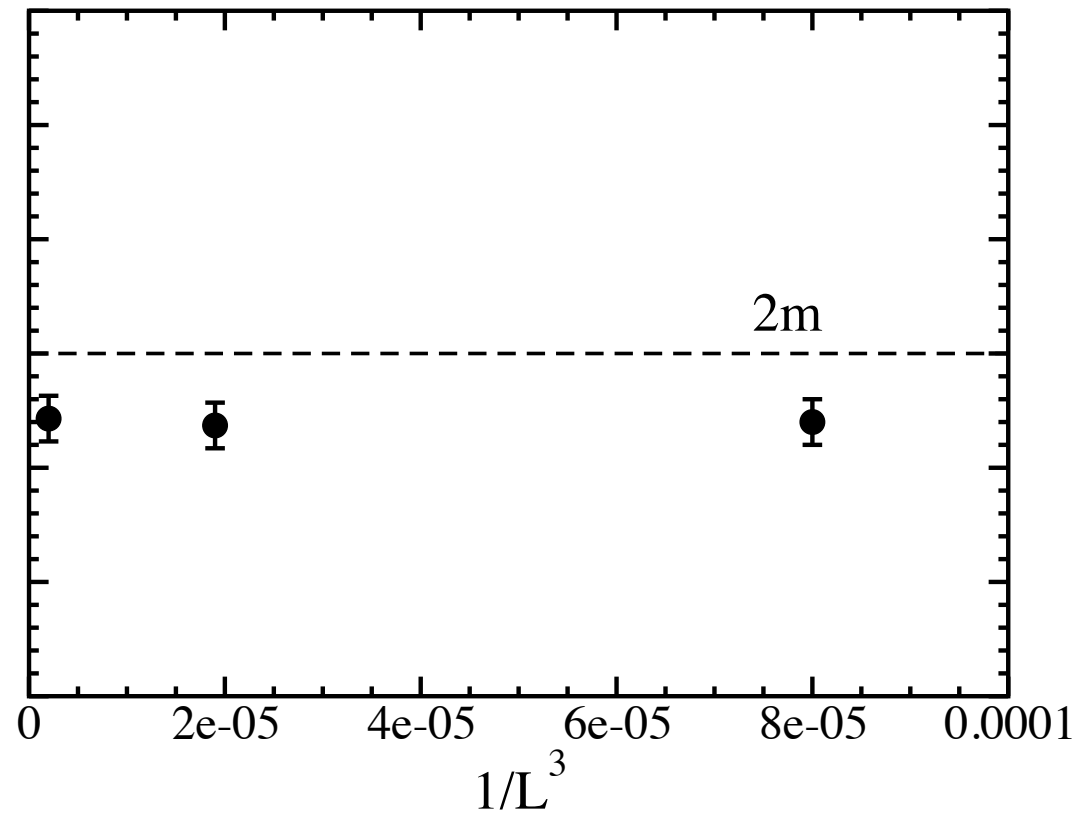
小さな $\Delta E = E - 2m < 0$ at 二つの体積 L



三. 有限体積上での束縛状態識別 (cont'd)

Example) 二粒子系

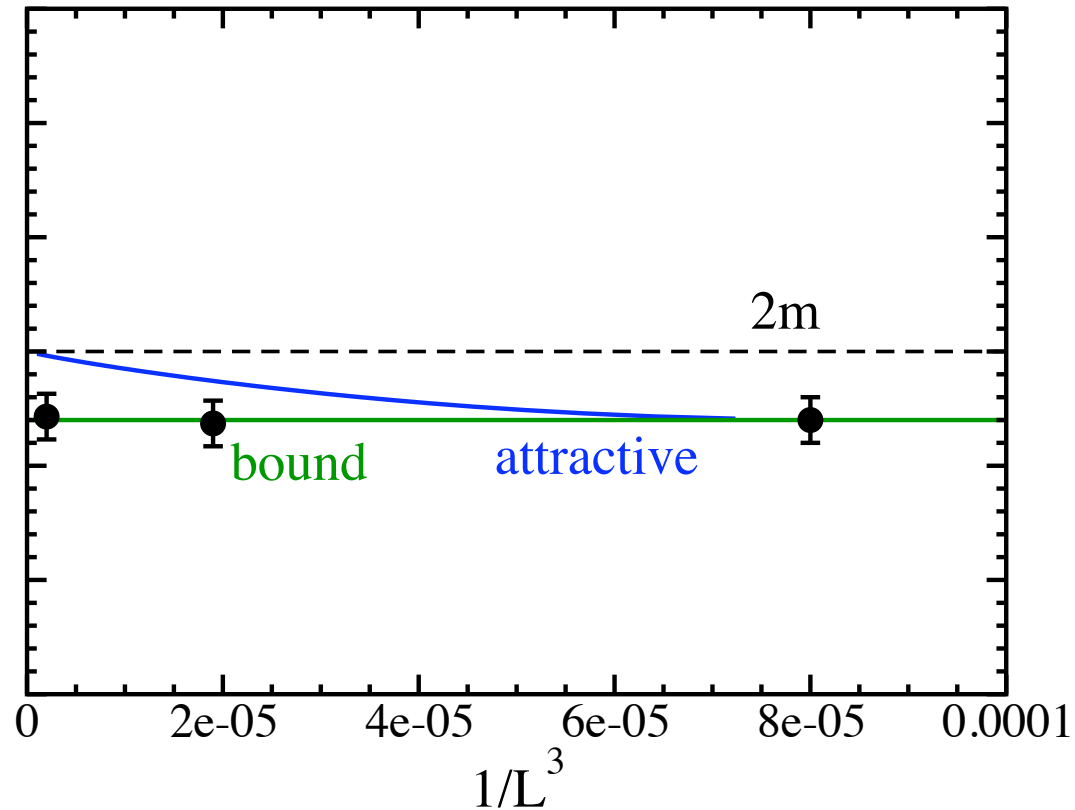
小さな $\Delta E = E - 2m < 0$ at 複数の体積 L



三. 有限体積上での束縛状態識別 (cont'd)

Example) 二粒子系

小さな $\Delta E = E - 2m < 0$ at 複数の体積 L



束縛状態の識別 ← ΔE の体積依存性

無限体積極限で定数が残る事を確認 with $L = 3.1, 6.1, 12.3$ fm

他の方法: スペクトラルウェイト: Mathur *et al.*, PRD70:074508(2004)

反周期的境界条件: Ishii *et al.*, PRD71:034001(2005)

3. シミュレーションパラメータ

- クエンチ岩崎ゲージ作用 at $\beta = 2.416$
 $a^{-1} = 1.54$ GeV with $r_0 = 0.49$ fm
- タドポール改良ウィルソンフェルミオン作用
 $m_\pi = 0.8$ GeV and $m_N = 1.62$ GeV
- 三体積

L	L [fm]	N_{conf}	N_{meas}
24	3.1	2500	2
48	6.1	400	12
96	12.3	200	12

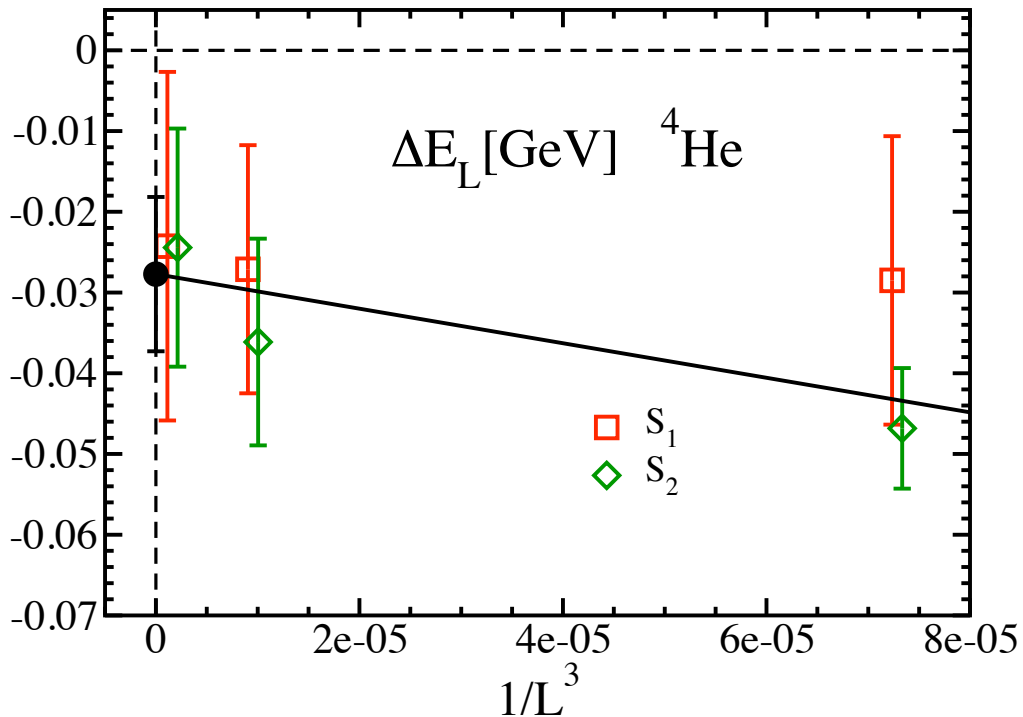
- 指数関数smearing クォーク演算子 $q(\vec{x}) = A \exp(-B|\vec{x}|)$
 S_1 S_2
 $(A, B) = (0.5, 0.5), (0.5, 0.1)$ for $L = 24$
 $(A, B) = (0.5, 0.5), (1.0, 0.4)$ for $L = 48, 96$
- + パリティクォーク演算子

シミュレーション:

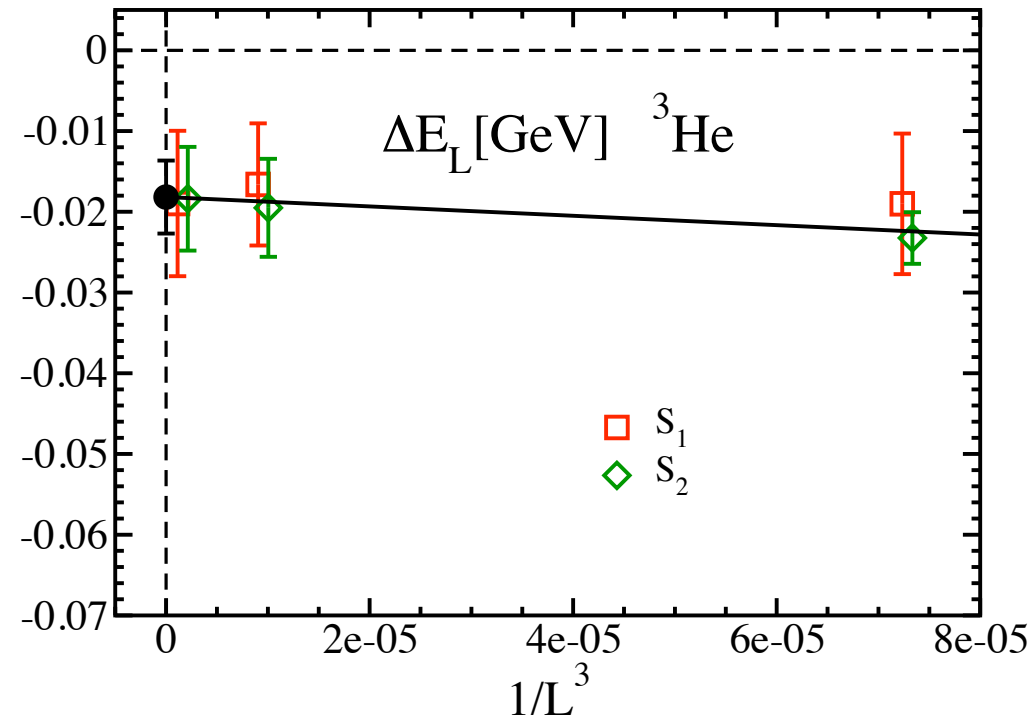
PACS-CS at 筑波大学計算科学研究センター
HA8000 at 東京大学情報基盤センター

4. 結果

${}^4\text{He}$, ${}^3\text{He}$ の ΔE_L の体積依存性



$$\Delta E_{4\text{He}} = 27.7(7.8)(5.5) \text{ MeV}$$

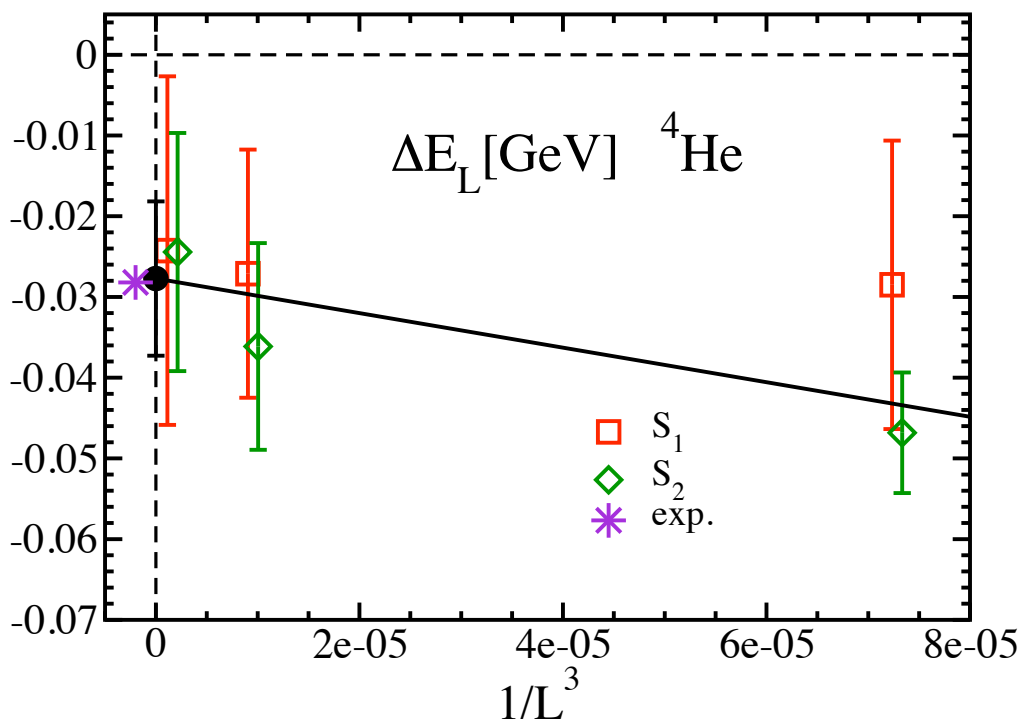


$$\Delta E_{3\text{He}} = 18.2(3.5)(2.9) \text{ MeV}$$

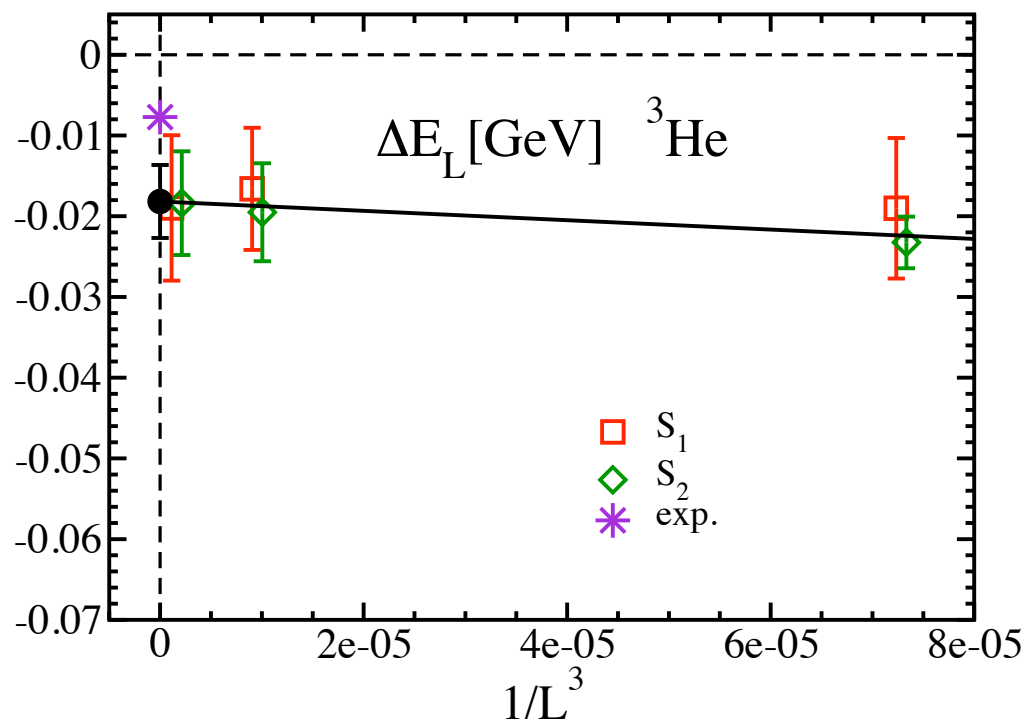
- 三体積で $\Delta E_L < 0 \leftarrow$ 統計的に独立な三計算
- 小さな体積依存性
- 無限体積極限外挿 with $\Delta E_L = -\Delta E_{\text{He}} + C/L^3$
無限体積極限で定数が残る
- 束縛エネルギーは実験値と直接比較できない \leftarrow クォーク質量が非常に重い

4. 結果 (cont'd)

^4He , ^3He 原子核 ΔE_L の体積依存性



$$\Delta E_{4\text{He}} = 27.7(7.8)(5.5) \text{ MeV}$$



$$\Delta E_{3\text{He}} = 18.2(3.5)(2.9) \text{ MeV}$$

- 実験値と同じオーダー
- 束縛の強さは質量数と共に大きくなる振舞は見えない

$$\Delta E_{4\text{He}}/4 = 6.9(2.0)(1.4) \text{ MeV and } \Delta E_{3\text{He}}/3 = 6.1(1.2)(1.0) \text{ MeV}$$

非常に重いクォーク質量が原因?

5. まとめと展望

- クエンチ近似の元でヘリウム原子核の試験的研究を行なった
- 非物理的な非常に重いクォーク質量
- いくつかの方法を使った計算コストの削減
- エネルギー差の体積依存性から束縛状態識別

無限体積で非ゼロエネルギー差が残る
→ $m_\pi = 0.8 \text{ GeV}$ で ${}^4\text{He}$ と ${}^3\text{He}$ 原子核は束縛する

将来の課題

- 実験値との比較 (クォーク質量依存性, 統計誤差)
- さらに大きな原子核 \Leftarrow 新しい方法が必要

$${}^6\text{Li} : (9!)^2 = 131681894400 \xrightarrow{\text{現在の方法}} \sim 800000$$

- 重水素 (最も単純な核子束縛状態)
- 異なるフレーバーを入れた計算
- 動的クォーク効果
- 何故、非常に重いクォーク質量で束縛状態ができるのか?

格子QCDを用いた二体核子(重粒子)系の研究('10以降)

'11 Hダイバリオンの研究

	NPLQCD	HALQCD
N_f	2 + 1	3
m_π [MeV]	389	674–1015
ΔE [MeV]	16.6(2.1)(4.6)	35.6(7.4)(4.0)*

* $m_\pi = 674$ MeV

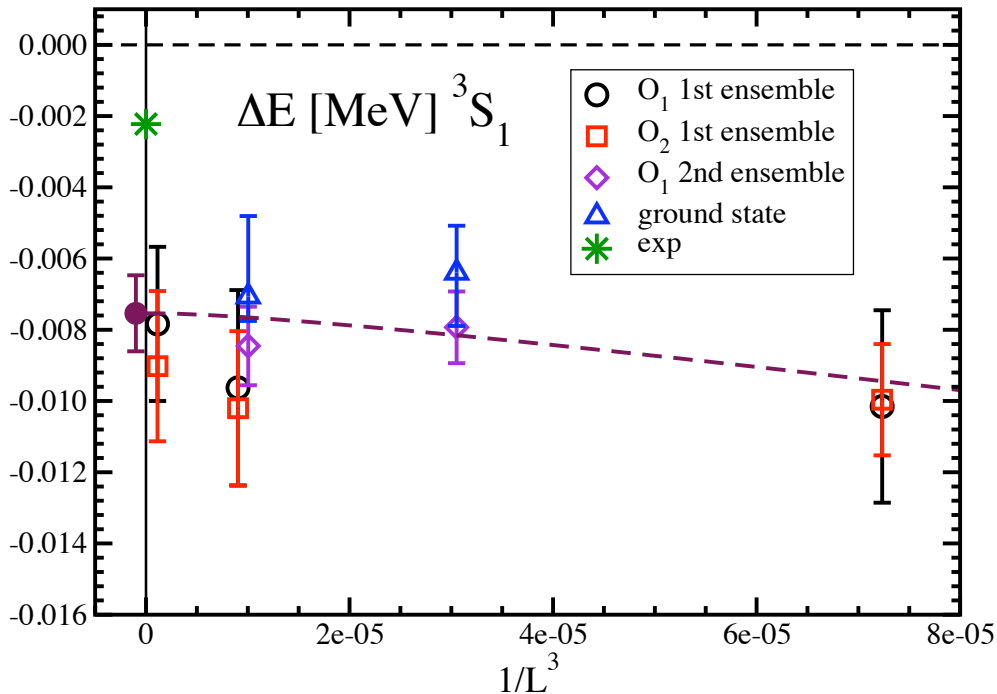
Hダイバリオンは重いクォーク質量では束縛する

'09以前の二体核子系の研究では束縛状態がないと仮定

本当に重いクォーク質量で二体核子束縛状態は存在しないのか?

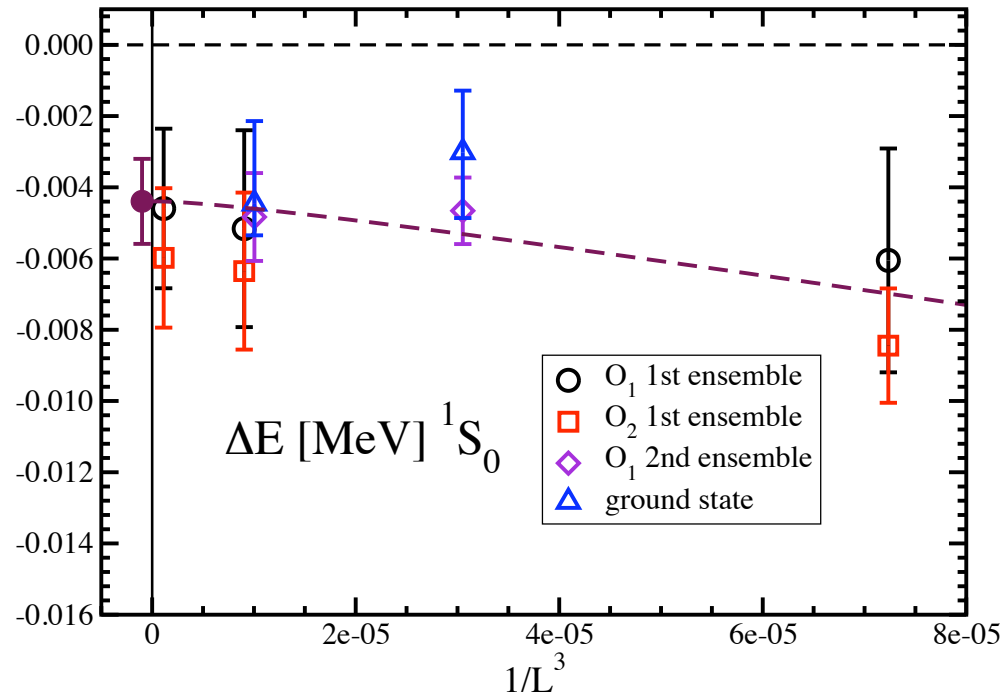
二体核子系束縛状態の研究

($N_f = 0, m_\pi = 800 \text{ MeV}$)



$$\Delta E = 7.5(0.5)(0.9) \text{ MeV}$$

$$a_0 = -1.05(24) \begin{pmatrix} +0.05 \\ -0.65 \end{pmatrix} \text{ MeV}$$



$$\Delta E = 4.4(0.6)(1.0) \text{ MeV}$$

$$a_0 = -1.62(24) \begin{pmatrix} +0.01 \\ -0.75 \end{pmatrix} \text{ MeV}$$

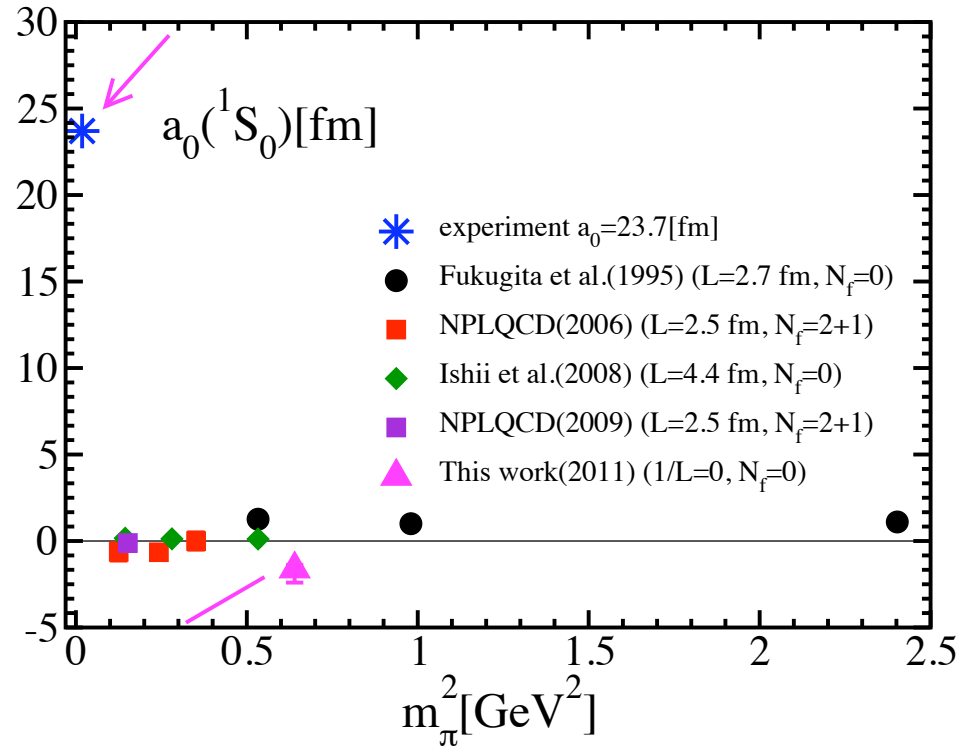
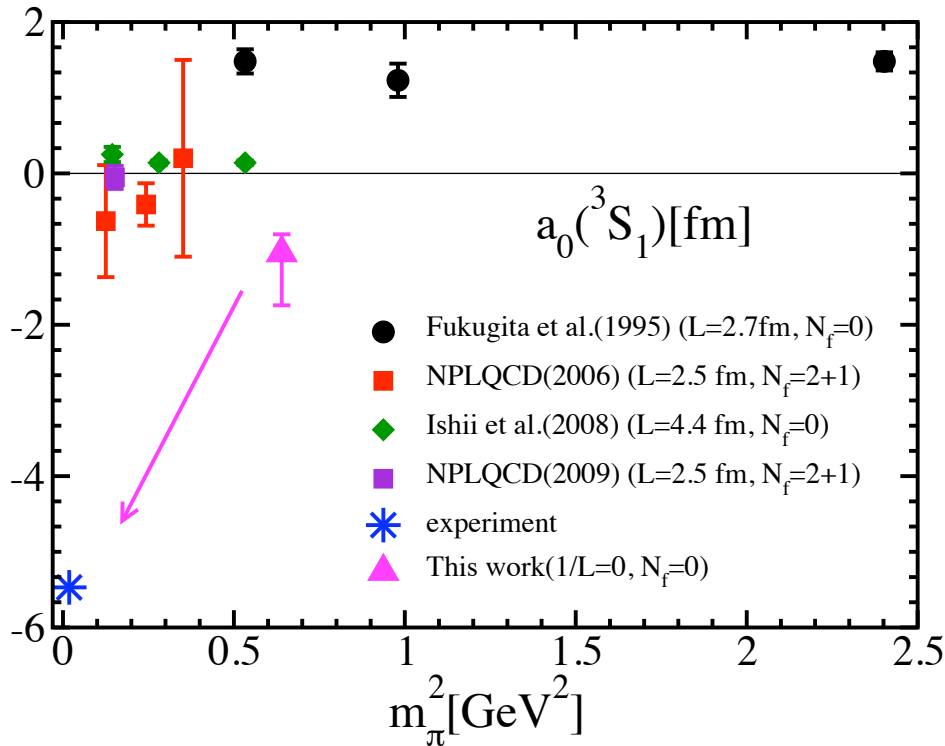
- 3S_1 : ΔE は実験値の約4倍, a_0 は実験値の約1/5
- 1S_0 : 束縛状態が存在 → 非常に重いクォーク質量が原因?

二体核子系束縛状態の研究

期待するクォーク質量依存性 ← これまでの研究と大きく異なる

クォーク質量が軽くなると

- 3S_1 : ΔE 減少、 $|a_0|$ 増加
- 1S_0 : ΔE 減少、 $|a_0|$ 増加 → 束縛状態消失、 $|a_0|$ 発散 + 符号反転 → a_0 減少



クォーク質量依存性の調査が重要

5. まとめと展望

- クエンチ近似の元でヘリウム原子核の試験的研究を行なった
- 非物理的な非常に重いクォーク質量
- いくつかの方法を使った計算コストの削減
- エネルギー差の体積依存性から束縛状態識別

無限体積で非ゼロエネルギー差が残る
→ $m_\pi = 0.8 \text{ GeV}$ で ${}^4\text{He}$ と ${}^3\text{He}$ 原子核は束縛する

将来の課題

- 実験値との比較 (クォーク質量依存性, 統計誤差)
- さらに大きな原子核 \Leftarrow 新しい方法が必要

$${}^6\text{Li} : (9!)^2 = 131681894400 \xrightarrow{\text{現在の方法}} \sim 800000$$

- 重水素 (最も単純な核子束縛状態)
- 異なるフレーバーを入れた計算
- 動的クォーク効果
- 何故、非常に重いクォーク質量で束縛状態ができるのか?